

ردیابی عوامل پوسیدگی نرم و ساق سیاه سیبزمینی در استان اصفهان*

Detection of the causal agents of potato soft rot and blackleg in Isfahan province

راضیه فیروز، مسعود بهار** و بهرام شریف نبی

گروه گیاه پزشکی، دانشکده کشاورزی، دانشگاه صنعتی اصفهان

پذیرش ۸۶/۸/۲

دریافت ۸۵/۱۱/۸

چکیده

به منظور ردیابی و شناسایی عوامل پوسیدگی نرم و ساق سیاه سیبزمینی در استان اصفهان، طی سال‌های ۸۳-۸۲ از غده و ساقه‌های سیبزمینی دارای علائم پوسیدگی نرم همراه با سیاه شدگی بافت نمونه‌برداری شد و تعداد ۵۴ جدایه باکتریایی به دست آمد. بر اساس ویژگی‌های ریخت شناسی، فیزیولوژیکی، بیوشیمیایی و نیز فعالیت پکتولیتیکی، ۴۳ جدایه به عنوان *Dickeya chrysanthemi* (*Dch*) شناخته شدند. تعداد ۱۱ جدایه دیگر به لحاظ بعضی خصوصیات متفاوت بیوشیمیایی به عنوان زیر گونه *Pectobacterium carotovorum* (*Pcc*) subsp. *carotovorum* شناسایی گردیدند، ولی هیچ کدام از آنها *P. atrosepticum* (*Pa*) تشخیص داده نشد. صحت نتایج بدست آمده در شناسایی عوامل بیمارگر با بکار گیری جفت آغازگرهای اختصاصی در واکنش زنجیره‌ای پلی‌مراس نیز تأیید گردید. در ادامه بررسی، با استفاده از آغازگر عمومی G1/L1 نواحی ITS جدایه‌ها تکثیر شد و بر اساس الگوی بانوی تولید شده، این جدایه‌ها در سه گروه قرار گرفتند. گروه اول ITS-PCR فقط یک جدایه استاندارد (EcaSCRI1043) را در برگرفت. جدایه‌هایی که بر اساس آزمون‌های بیوشیمیایی و فیزیولوژیکی *Pcc* معرفی شدند، در گروه دوم ITS-PCR قرار گرفتند و جدایه‌های *Dch*، گروه

* بخشی از پایان نامه کارشناسی ارشد نگارنده اول ارائه شده به دانشگاه صنعتی اصفهان

** مسئول مکاتبه

سوم ITS-PCR را تشکیل دادند که تفکیک این گروهها با انجام آزمون ITS-RFLP نیز تأیید شد. بر اساس نتایج این بررسی، *Pcc* و *Dch* به ترتیب بیمارگرهای غالب ایجاد کننده ساق سیاه و پوسیدگی نرم سیبزمینی در اصفهان شناسایی شدند.

واژه‌های کلیدی: *Dickeya Pectobacterium* پوسیدگی نرم سیبزمینی، ساق سیاه سیبزمینی، واکنش زنجیره‌ای پلیمرز

مقدمه

گونه و زیرگونه‌های *Pectobacterium* متعلق به خانواده Entrobacteriaceae از جمله بیمارگرهای مهم باکتریایی محسوب می‌شوند که در تعداد زیادی از گیاهان پوسیدگی نرم ایجاد می‌کنند. از مهمترین پکتوباکتریومهای مولد پوسیدگی نرم سه باکتری *P. carotovorum* subsp. *carotovorum*، *Pectobacterium atrosepticum* (*Pa*) (van Hall) Gardan و *Dickeya chrysanthemi* (*Dch*) (Burkholder) Brenner et al. و *Pcc* (Jones) Hauben et al. هستند که در سیبزمینی بیماری ایجاد می‌کنند (Perombelon & Salmond 1995). به طور معمول *Pa* موجب بیماری ساق سیاه (blackleg) در سیبزمینی می‌گردد که آلودگی از غده بذری نشأت می‌گیرد. در اکثر کشورهای جهان، از جمله ایران، حداکثر آلودگی مجاز به این بیماری در مزارع تولید بذر مادری سیبزمینی کمتر از یک در هزار در نظر گرفته می‌شود (www.nak.nl/documents). در مقابل، علیرغم خسارت وارده در نتیجه لهیدگی سیبزمینی بر اثر فعالیت باکتری‌های *Pcc* و *Dch* در محل زخم‌های گیاه در طوقه و یا ساقه، هنوز برای حضور آنها در مزرعه از نظر درجه بندی بذر سیبزمینی محدودیت خاصی اعمال نمی‌شود. اگرچه سیاه شدن بافت ساقه و غده سیبزمینی از جمله مشخصات اصلی بیماری ساق سیاه در اثر حمله *Pa* می‌باشد (Harrison & Nielsen 1981)، ولی تحت شرایط هوای گرم مزرعه، ممکن است باکتری‌های *Pcc* و *Dch* نیز چنین علائمی را ایجاد نمایند (Molina & Harrison 1977). در ایالت اورگان آمریکا، در اوایل فصل که آب و هوای سردی وجود دارد *Pa* بیمارگر اصلی ساق سیاه سیبزمینی محسوب می‌گردد، ولی در اواخر فصل که دما بالاتر است *Pcc* به صورت بیمارگر غالب در می‌آید (Powelson 1980). همچنین *Pcc* در

کلرادو (Molina & Horrison 1977) و آریزونا (Staghellini & Meneley 1975) به عنوان متداولترین عامل بیماری ساق سیاه سیب زمینی گزارش شده است. در اسرائیل *Dch* عامل اصلی ساق سیاه سیب زمینی می باشد (Lumb *et al.* 1986) و در ایالت Rio Grande do sul (Rs) برزیل عوامل ایجاد کننده ساق سیاه سیب زمینی *Pa* (۵۵٪)، *Pcc* (۴۵٪) و *Dch* (۱٪) اعلام شده اند (Oliveria *et al.* 2003). این مشابهت علائم بوجود آمده بر اثر *Pa* با *Pcc* و یا *Dch* باعث می شود که براساس مشخصات ظاهری بوته مریض، عامل بیماری *Pa* حدس زده شود که متعاقباً در درجه بندی سیب زمینی های بذری اشکال به وجود می آورد.

شناسایی و تفکیک پکتوباکتریوم های مولد ساق سیاه و پوسیدگی نرم بر پایه تفاوت خصوصیات بیماریزایی، بیوشیمیایی و فیزیولوژیکی آنها (Schaad *et al.* 2001) و نیز تفاوت دمایی لازم برای رشد در محیط کشت (CVP) Crystal Violet Pectate (CVP) (Cupple & Kelman 1974) مرسوم می باشد. گزارش اولیه حضور *Pa* در اصفهان (Bahar & Danesh 1985) و نیز شناسایی عوامل ساق سیاه و پوسیدگی نرم در مزارع کشور (Soheyli-Moghadam & Hassanzadeh 2004, Zohoor *et al.* 1998) نیز بر مبنای آزمون های فیزیولوژیکی و بیوشیمیایی صورت گرفته است. با وجود آنکه این خصوصیات قابل اعتماد هستند، ولی لزوم تهیه محیط های کشت مختلف و زمان طولانی برای ثبت نتایج بدست آمده از آزمایش های بیوشیمیایی، ردیابی و تفکیک سریع و دقیق عامل بیماری را با مشکل مواجه می سازد. استفاده از روش های سرولوژیکی (DeBoer & Naughton 1987, DeBoer *et al.* 1979) نیز به دلیل ناهمگنی سرولوژیکی و وجود واکنش های تقاطعی درون گونه ای جدایه های جمع آوری شده از مناطق جغرافیایی مختلف، مانع مهمی برای تشخیص دقیق پکتوباکتریوم های مولد پوسیدگی نرم سیب زمینی است. تهیه کاوشگر (probe) اختصاصی برای شناسایی جدایه های *Pa* و *Pcc* با استفاده از هیبریداسیون DNA، روشی سریع برای تشخیص این باکتری ها عنوان شده است و حتی جمعیت اندکی از آنها را در غده ردیابی می کند (Ward & DeBoer. 1990; Ward & DeBoer 1994)، ولی پیچیدگی روش، نیاز به تجهیزات زیاد و هزینه نسبتاً بالا، کاربرد این روش را محدود ساخته است (Darrase *et al.* 1994). در سال های اخیر استفاده از روش واکنش زنجیره ای پلیمرز

(Polymerase Chain Reaction, PCR) با استفاده از آغازگرهای اختصاصی برای تکثیر قسمتی از ژنوم بیمارگر مورد توجه قرار گرفته است. این روش ساده، سریع، حساس و اختصاصی بوده و به دلیل هزینه کم، به طور وسیعی جهت شناسایی پکتوباکتریومها بکار می‌رود (Darrasse *et al.* 1994, De Boer & Ward 1995, Nassar *et al.* 1996, Kang *et al.* 2003). در این رابطه آغازگرهای مختلفی برای تفکیک گونه‌ها و زیرگونه‌های پکتوباکتریوم تعریف شده‌اند که هدف اصلی استفاده از آنها، شناسایی و ردیابی عوامل ایجاد کننده بیماری‌های ساق‌سیاه و پوسیدگی نرم در سیب‌زمینی می‌باشد. در بین آغازگرهای مورد استفاده در PCR، جفت آغازگر Y1/Y2 بر پایه توالی نوکلئوتیدی ژن پکتات لیاژ پکتوباکتریومها طراحی شده است که جهت شناسایی *Pa* و *Pc* استفاده می‌گردد (Darrasse *et al.* 1994). برای شناسایی و ردیابی اختصاصی *Pa* در سیب‌زمینی، جفت آغازگر اختصاصی Eca1f/Eca2r پیشنهاد شده است که با این جفت آغازگر، DNA زیرگونه‌های *P.carotovora* و نیز *D. chrysanthemi* تکثیر نمی‌شوند. اختصاصی بودن و حساسیت این آغازگر در ردیابی و شناسایی تمام گروه‌های سرولوژیکی *Pa* در غده‌های آلوده نسبت به روش‌های سرولوژیک نظیر الایزا بیشتر می‌باشد (De Boer & Ward 1995). جفت آغازگر ADE1/ADE2 که براساس ناحیه حفاظت شده کلاستر *pel* ADE ژنهای اختصاصی برای بیماریزایی *Dch* طراحی شده است، بطور اختصاصی استرین‌های بیماریزای *Dch* را شناسایی می‌کند (Nassar *et al.* 1996). در تحقیقات دیگر بر پایه توالی نوکلئوتیدی URP-PCR باکتری *Pcc*، در ابتدا کاوشگر و سپس جفت آغازگر ExpccF/ExpccR جهت شناسایی *Pcc* معرفی گردید که با استفاده از این جفت آغازگر می‌توان تمام جدایه‌های *Pcc* را شناسایی نمود (Kang *et al.* 2003).

تمام آغازگرهای مورد اشاره، اختصاصی بوده و برای تکثیر انحصاری یکی از عوامل بیمارگر *Pa*، *Dch* و *Pcc* پیشنهاد شده‌اند. به این ترتیب برای تعیین دخالت هر کدام از این باکتریها نیاز به انجام سه واکنش مختلف PCR می‌باشد تا مشخص گردد کدام عامل و یا عوامل در بروز ساق‌سیاه و یا پوسیدگی نرم سیب‌زمینی دخالت دارند که برای دستیابی به نتیجه، هزینه و زمان زیادی لازم است. به این ترتیب دسترسی به یک آغازگر عمومی که بتواند بطور همزمان هر سه عامل بیمارگر *Pa*، *Dch* و *Pcc* را با دقت مناسب تکثیر نموده و براساس الگوی بانندی از

هم تفکیک کند، به لحاظ سرعت عمل و کاهش هزینه آزمایشات، اهمیت زیادی دارد. با استفاده از آغازگر عمومی G1/L1 که بر پایه نواحی 16S – 23S rRNA intergenic transcribed spacer (ITS) جهت شناسایی پروکاریوت‌ها طراحی شده است (Jensen *et al.* 1993) می‌توان با انجام یک واکنش PCR، باکتری‌های *Pcc*، *Dch* و *Pa* را بر اساس الگوهای بانندی تولید شده از هم تفکیک نمود و آن‌ها را از سایر عوامل پوسیدگی نرم نیز تشخیص داد. در این موارد تأیید شناسایی با استفاده از آنالیز RFLP بر روی محصول PCR صورت می‌گیرد (Toth *et al.* 2001). در این بررسی سعی شد کارایی استفاده از آغازگر G1/L1 در واکنش PCR برای شناسایی و تفکیک عوامل بیماری‌گر ساق سیاه و پوسیدگی نرم سیب زمینی در مقایسه با آغازگرهای دیگر و همچنین روش‌های بیوشیمیایی در شرایط منطقه اصفهان ارزیابی گردد.

روش بررسی

الف- جداسازی، نگهداری و انجام آزمونهای فیزیولوژیکی و بیوشیمیایی جدایه‌ها

طی ماه‌های مرداد ۱۳۸۲ و شهریور ۱۳۸۳، مزارع سیب زمینی واقع در مناطق مختلف استان اصفهان (فریدن، چادگان، نجف آباد، سمیرم، درچه و فلاورجان) مورد بازدید قرار گرفتند. ارقام سیب زمینی مورد کشت در این مزارع دیامونت (فریدن، چادگان، درچه)، مارفونا (سمیرم، چادگان) و سانته (نجف آباد، فلاورجان) بودند. در هر کدام از مزارع چندین بوته که علائم بیماری پوسیدگی نرم همراه با سیاه شدن غده و ساق سیاه را نشان می‌دادند، انتخاب شدند و غده‌ها و ساقه‌های آلوده به آزمایشگاه منتقل گردیدند. به منظور جداسازی عوامل بیماری، ساقه‌ها و غده‌های لهیده با جریان آب معمولی شسته شدند. سپس قطعاتی از مرز بافت‌های سالم و آلوده جدا گردید و پس از ضدعفونی ۴۰ ثانیه در محلول هیپوکلریت سدیم ۵٪ (مایع تجارتي سفید کننده ۱۰٪) و شستشو با آب مقطرسترون، قطعات مزبور به طور جداگانه به لوله‌های حاوی پنج میلی‌لیتر آب مقطرسترون منتقل شدند. پس از نگهداری به مدت ۳۰ دقیقه، از سوسپانسیون به دست آمده، یک لوپ روی محیط کشت (eosin methylen blue) EMB به روش خطی کشت گردید. در بعضی موارد لوپ سترون به حاشیه بخش لهیده سیب زمینی آلوده شد و مایع بافت لهیده به طور مستقیم روی محیط کشت EMB مخطط گشت. تشنگ‌های پتری در دمای ۲۷°C نگهداری شدند و پس از ۴۸ ساعت از هر تشنگ چند پرگنه با

درخشندگی سبز متالیک انتخاب شده و برای خالص‌سازی، مجدداً روی محیط EMB به صورت مختلط کشت گردید. برای تکثیر جدایه‌ها از محیط آگار غذایی (NA) *nutrient agar* استفاده شد. بعد از خالص‌سازی، یک لوپ از پرگنه‌های هر جدایه باکتری به لوله‌های حاوی محیط کشت (NB) *nutrient broth* اضافه گردید. پس از ۲۴ ساعت رشد روی دستگاه لرزاننده در آزمایشگاه، یک میلی‌لیتر از سوسپانسیون هر جدایه به طور جداگانه با ۵۰۰ میکرولیتر گلیسرین استریل مخلوط شد و پس از انجماد سریع در نیتروژن مایع، به فریزر 80°C منتقل گردید تا در آزمایشات بعدی استفاده شود. جدایه‌های استاندارد (*Pa*) EcaSCRI1043، EccSCRI193 (*Pcc*) و EchSCRI3739 (*Dch*) (اهدایی Dr. Toth، موسسه تحقیقات زراعی Dundee-اسکاتلند) و نیز جدایه (*Pa*) Ecash (اهدایی دکتر تقوی گروه گیاهپزشکی دانشگاه شیراز) نیز به عنوان شاهد در بررسی‌های بعدی مورد استفاده قرار گرفتند.

توانایی بیماری‌زایی جدایه‌های بدست آمده با مایه‌زنی یک لوپ از کشت ۲۴ ساعته هر جدایه در NA، بر روی ورقه‌های سیب‌زمینی داخل پتری و یا حفره‌های تعبیه شده در غده‌های سیب‌زمینی ضدعفونی سطحی شده با هیپوکلریت سدیم ۰/۵٪ و الکل ۹۵٪ ارزیابی گردید. همچنین، یک جدایه مشخص از هر منطقه نمونه‌برداری شده به همراه جدایه‌های استاندارد بر روی بوته‌های سیب‌زمینی مایه‌زنی شد. به این منظور حدود نیم میلی‌لیتر از سوسپانسیون ۲۴ ساعت رشد یافته هر جدایه در محیط NB، با چگالی نوری (optical density) ۰/۱۲-۰/۱، واحد OD در طول موج ۶۰۰ نانو متر، در قسمت بالای طوقه بوته‌های دو ماه رشد کرده سیب‌زمینی رقم آگریا تزریق شد. برای مایه‌زنی گیاهان شاهد از آب مقطر سترون استفاده گردید. آزمون‌های مربوط به تعیین خصوصیات فیزیولوژیکی و بیوشیمیایی جدایه‌های پکتوباکتریوم به دست آمده، بر اساس روش‌های معمول در باکتری شناسی گیاهی (De Boer & Kelman 2001; Schaad *et al.* 2001) انجام گرفت.

ب- استخراج DNA

استخراج DNA جدایه‌ها به روش cetyl trimethyl ammonium bromide (CTAB) (Cullen *et al.* 2001) انجام شد. به این منظور سه میلی‌لیتر از سوسپانسیون ۲۴ ساعت رشد کرده باکتری در محیط غذایی NB رسوب داده شد. رسوب حاصل در ۵۰۰ میکرو لیتر بافر

استخراج شامل: ۱۰/۶۸۵ گرم K_2HPO_4 ، ۱۰ گرم CTAB، ۴۳/۸۳ گرم NaCl و ۵۰۰ میلی لیتر آب مقطرسترون به صورت سوسپانسیون در آمده و به مدت ۱۵ دقیقه در $65^{\circ}C$ نگهداری شد. سلول‌های باکتری در ۶۰۰۰ دور در دقیقه به مدت ۱۰ دقیقه رسوب داده شد و فاز رویی به لوله‌های جدید منتقل گردید. سپس هم حجم فاز مایع، مخلوط کلروفرم-ایزوامیل الکل (۲۴:۱) به هر نمونه اضافه شد و سانتی‌فیوژ گردید. به منظور حذف RNA، سه میکرولیتر از RNase-A (Sigma) به هر نمونه اضافه گردید و به مدت یک ساعت در حمام آب گرم با دمای $37^{\circ}C$ قرار گرفت. در مرحله بعد، هم حجم فاز رویی ایزوپروپانول سرد و ۱/۰ حجم استات سدیم ۳ مولار (pH ۵/۲) جهت رسوب دادن DNA به هر نمونه اضافه شد و در ۱۴۰۰۰ دور در دقیقه و به مدت ۱۵ دقیقه سانتی‌فیوژ گردید. رسوب DNA حاصل پس از شستشو با اتانول ۷۰ درصد در معرض هوا خشک شده و سپس در ۵۰ میکرولیتر آب مقطر دو بار سترون حل گردید و به فریزر $20^{\circ}C$ - منتقل شد. برای تعیین کمیت و کیفیت DNA از روش‌های اسپکتوفتومتری و الکتروفورز پنج میکرولیتر از DNA بدست آمده در ژل آگارز ۷٪ در بافر TAE و مقایسه تراکم باند آن با مقدار استاندارد قطعات نشانگر III (λ -DNA- EcoRI / HindIII) استفاده شد.

ج-انجام واکنش PCR با آغازگرهای اختصاصی

آغازگرهای ADE1/ ADE2، Expccf/ ExpccR و Eca1f/ Eca2r که به ترتیب برای شناسایی *Dch* (Nassar et al. 1996)، *Pcc* (Kang et al. 2003) و *Pa* (De Boer & Ward 1995) معرفی شده‌اند، برای تکثیر قسمتی از ژنوم جدایه‌های مورد بررسی به کار رفتند. به این منظور در هر لوله نیم میلی لیتری دو میکرولیتر از DNA (۲۵ - ۵۰ ng/μl) با ۲۵۰ میکرو مولار از مخلوط dNTP، ۰/۵ میکرومولار از هر جفت آغازگر، یک واحد آنزیم تک پلیمراز (*Taq DNA polymerase*) و ۱/۵ میکرولیتر از بافر PCR ۱۰X مخلوط شدند. پس از اضافه کردن یک قطره روغن معدنی سترون، نمونه‌ها در دستگاه ترموسایکلر (Genius FGEN 05TD) قرارگرفتند. مواد شیمیایی و آنزیمی از شرکت Roch (مانهیم-آلمان) تهیه شد و آغازگرها نیز توسط شرکت TIB (برلین-آلمان) سنتز گردیدند.

شرایط PCR برای تکثیر نمونه‌ها به صورت یک چرخه پنج دقیقه‌ای واسرشت اولیه

(denaturing) در 95°C ، سپس ۳۵ چرخه شامل واسرشت در 95°C به مدت ۳۰ ثانیه، اتصال (annealing) در 60°C به مدت ۴۵ ثانیه و گسترش (extension) در 72°C به مدت ۴۵ ثانیه انجام یافت و در پایان، یک چرخه گسترش نهایی در 72°C به مدت ۱۰ دقیقه صورت گرفت. در مورد آغازگر ADE1/ADE2، دمای اتصال و دمای گسترش مشابه یکدیگر (72°C) و هر کدام به مدت ۶۰ ثانیه برنامه‌ریزی شد. بعد از انجام واکنش، هفت میکرولیتر از محصول PCR با سه میکرولیتر بافر بارگذاری مخلوط و در چاهک‌های ژل آگارز ۱/۲ درصد در بافر TBE (Tris-borate-EDTA) با شدت جریان ۶۸ میلی آمپر الکتروفورز گردید. پس از انجام رنگ‌آمیزی توسط اتیدیوم بروماید ($0.5 \mu\text{g/ml}$)، مشاهده باندها در زیر اشعه ماوراء بنفش (254 nm)، UV و عکسبرداری با دستگاه Photodocument صورت گرفت.

د- انجام واکنش PCR و هضم آنزیمی ناحیه ITS

به منظور شناسایی سریع و تفکیک همزمان جدایه‌ها، آزمون PCR با استفاده از جفت آغازگر G1/L1 (Jensen *et al.* 1993) و با مواد تشکیل دهنده آمیزه قبلی انجام گرفت، با این تفاوت که ۱/۵ میکرولیتر dimethyl sulfoxide (DMSO) و ۰/۲۴ میکرولیتر bovin serum (BSA) albumin 10 mg/ml به هر واکنش اضافه شد. شرایط واکنش PCR با این جفت آغازگر مطابق برنامه توصیه شده (Jensen *et al.* 1993) به صورت یک چرخه یک دقیقه‌ای واسرشت اولیه در 95°C ، سپس ۲۵ چرخه شامل واسرشت در 94°C به مدت ۶۰ ثانیه، اتصال در 55°C به مدت پنج دقیقه و گسترش در 72°C به مدت دو دقیقه انجام یافت و در پایان یک چرخه گسترش نهایی در 72°C به مدت ۱۰ دقیقه صورت گرفت. پس از انجام واکنش، محصولات PCR به دست آمده با آنزیم‌های محدودگر *RsaI* و *CfoI* برش یافتند. واکنش برش آنزیمی ۱۵ میکرو لیتری شامل ۱۰ میکرولیتر DNA تکثیر شده، ۱/۵ میکرولیتر بافر 10X مناسب برای آنزیم، یک میکرولیتر آنزیم برشی و ۲/۵ میکرولیتر آب مقطر سترون بود که پس از مخلوط کردن کامل به مدت سه ساعت در دمای 37°C قرار داده شد. تعداد و اندازه باندهای تولید شده در هر برش آنزیمی در ژل آگارز ۲٪ در بافر TBE و با استفاده از نشانگر Ladder ۵۰ ارزیابی شد.

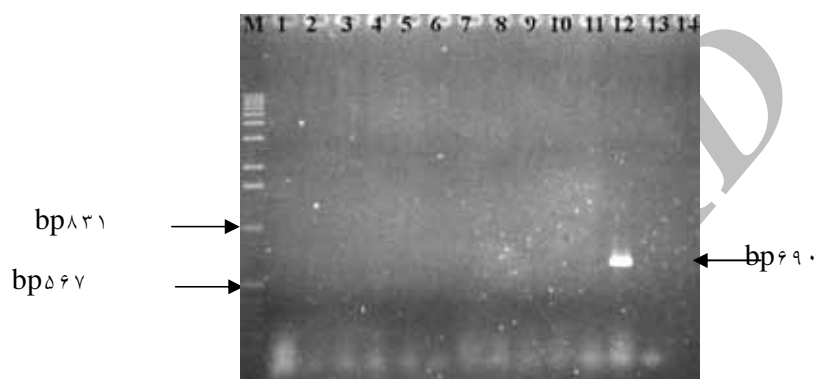
نتیجه

از غده و ساقه‌های سیب زمینی که دارای علائم پوسیدگی نرم همراه با سیاه شدن بودند، تعداد ۵۴ جدایه باکتری به دست آمد (جدول ۱). یک هفته پس از مایه زنی جدایه‌ها در ساقه‌های سیب زمینی کشت شده در گلخانه علایم ساق سیاه مشابه علایم مزرعه مشاهده شد که از کشت مجدد برخی از آنها روی محیط EMB پرگنه‌های سبز متالیک مشابه با جدایه‌های مایه زنی شده بدست آمد. ساقه‌های مایه زنی شده با آب مقطرسترون هیچگونه علایمی را نشان ندادند. جدایه‌ها براساس ویژگی‌های مرفولوژیکی، بیوشیمیایی و نیز فعالیت پکتولیتیکی متعلق به جنس‌های *Dickeya* و *Pectobacterium* تشخیص داده شدند (جدول ۲). اختلاف نتایج فسفاتاز، تولید ایندول و عدم تولید مواد احیاء کننده از ساکارز، رشد در 37°C و نیز تولید اسید از تری‌هالوز و آلفامتیل گلوکزاید جدایه‌ها و مقایسه آنها با جدایه‌های استاندارد EcaSCRI1043، EccSCRI193 و EchSCRI3739 مشخص نمود که جدایه‌های منطقه اصفهان در دو گروه قرار می‌گیرند. گروه اول که ۴۳ جدایه را شامل می‌شدند به دلیل واکنش مثبت فسفاتاز، عدم احیای مواد از ساکارز، توانایی رشد در 37°C ، تولید ایندول و همچنین تولید اسید از قندهای آرابینوز، ملی بیوز و لاکتوز و عدم تولید اسید از قندهای تری‌هالوز، آلفا متیل دی گلوکزید و پالاتینوز به عنوان *Dch* شناخته شدند. تعداد ۱۱ جدایه باقیمانده به گروه دوم تعلق داشتند که از نظر بعضی خصوصیات بیوشیمیایی مانند تولید اسید از قندهای تری‌هالوز و لاکتوز و عدم استفاده از قندهای پالاتینوز و آلفا متیل دی گلوکزید و همچنین توانایی رشد در 37°C و عدم تولید فسفاتاز، ایندول و تولید مواد احیا کننده از ساکارز با زیر گونه *Pcc* شباهت کامل داشتند (جدول ۲). هیچکدام از جدایه‌ها از لحاظ خصوصیات مورد بررسی به جدایه *EcaSCRI104 (Pca)* (گروه سوم) شبیه نبودند. برای روشن شدن احتمال دخالت هر دو باکتری *Pcc* و *Dch* در ایجاد بیماری روی یک بوته، هشت نمونه مبتلا به ساق سیاه روی محیط EMB کشت گردید. پس از رشد ۷۲ ساعته، از هر طشتک نمونه ۱۰ پرگنه سبز متالیک بطور مجزا کشت خالص گردیده و تحت آزمایشات بیوشیمیایی قرار گرفتند. در هیچ موردی تفاوتی در بین جدایه‌های بدست آمده از یک بوته بیمار مشاهده نشد. چنین نتیجه‌ای حضور توأمان باکتری‌های *Pcc* و *Dch* برای تولید بیماری در یک بوته را، طی این بررسی، منتفی می‌سازد.

در بررسی نتایج حاصل از واکنش PCR با آغازگر اختصاصی Eca1f/ Eca2r، قطعه مورد انتظار ۶۹۰ نوکلئوتیدی در جدایه EcaSCRI1043 تکثیر شد، ولی هیچ کدام از جدایه‌های دیگر چنین قطعه‌ای را تکثیر نمودند (شکل ۱). جفت آغازگر ADE1/ADE2 که برای شناسایی اختصاصی *Dch* معرفی شده است در EchSCRI3739 و نیز جدایه‌های گروه اول (گروه *Dch*) قطعه مورد انتظار ۴۲۰ نوکلئوتیدی را تکثیر کردند (شکل ۲). این جفت آغازگر هیچ گونه تکثیری در جدایه‌های گروه دوم و همچنین جدایه‌های استاندارد دیگر انجام نداد. حاصل واکنش PCR با آغازگر ExpccF/ExpccR تولید یک قطعه حدود ۵۵۰ نوکلئوتیدی در جدایه گروه دوم (گروه *Pcc*) و همین طور جدایه EccSCRI193 بود. چنین نتیجه‌ای برای واکنش PCR با جدایه‌های EcaSCRI1043 و EchSCRI3739 و نیز جدایه‌های گروه اول بدست نیامد (شکل ۳). با بررسی محصول واکنش ITS-PCR جدایه‌ها با جفت آغازگر G₁/L₁، جدایه‌های مورد بررسی در سه گروه قرار گرفتند. گروه اول فقط شامل EcaSCRI1043 بود که قطعات با اندازه تقریبی ۵۴۰، ۵۷۵، ۶۲۰ و ۷۴۰ نوکلئوتیدی را تکثیر نمود. گروه دوم، جدایه EccSCRI193 و جدایه‌هایی را در بر گرفت که بر پایه آزمون‌های PCR، بیوشیمیایی و فیزیولوژیکی *Pcc* طبقه بندی شده بودند. در آزمون ITS-PCR، این باکتریها قطعات حدود ۵۴۰، ۵۷۵ و ۷۴۰ نوکلئوتیدی ایجاد کردند. در نهایت EchSCRI3739 و جدایه‌هایی که طی این آزمایشات به عنوان *Dch* شناخته شدند با تکثیر قطعات حدود ۴۵۰، ۵۹۰ و ۶۹۰ نوکلئوتیدی در گروه سوم ITS-PCR قرار گرفتند (شکل ۴).

جهت انجام RFLP، از آنزیم‌های برشی محدودگر توصیه شده و متناسب با گروه‌های ITS-PCR استفاده شد. به این منظور برای تفکیک گروه اول و سوم ITS-PCR، آنزیم محدودگر برشی *CfoI*، و برای تشخیص گروه دوم ITS PCR آنزیم برشی *RsaI* بکار رفت. ITS-RFLP گروه اول که فقط شامل جدایه استاندارد EcaSCRI 1043 بود با آنزیم *CfoI* قطعات مورد انتظار ۱۱۵، ۱۵۳، ۲۲۵، ۳۴۵ نوکلئوتیدی را ایجاد کردند. گروه دوم ITS-RFLP که جدایه‌های متعلق به *Pcc* و EccSCRI193 را دربر می‌گرفت با آنزیم *RsaI* قطعات حدود ۱۸۰، ۲۱۰ و ۳۵۵ نوکلئوتیدی تولید نمودند. با همین آنزیم جدایه Ecash شیراز قطعاتی تقریباً به اندازه ۱۱۵، ۱۸۰ و ۲۲۵ ایجاد کرد که نشانگر تفاوت این جدایه با جدایه‌های دیگر و از جمله جدایه

استاندارد EccSCRI 193 می باشد. جدایه های DchC₄, DchF₂, DchE₁, DchH₁ و EchSCRI 3739 تحت تأثیر آنزیم CfoI با ایجاد قطعات حدود ۱۱۵، ۱۴۵، ۲۵۵ و ۴۵۵ نوکلئوتیدی، ITS-RFLP گروه سوم را تشکیل دادند (شکل ۵).

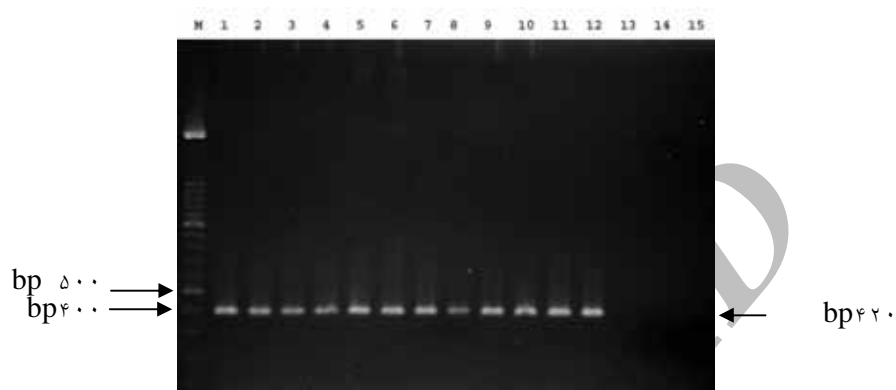


شکل ۱- نتایج تکثیر با PCR جدایه های استاندارد *Pectobacterium*، *Dickeya* و جدایه های اصفهان با استفاده از آغازگر Eca1f/Eca2r. M: مارکر III، ۱: PccA₁، ۲: PccB₁، ۳: PccB₂، ۴: PccC₁، ۵: PccE₁، ۶: DchA₁، ۷: DchB₃، ۸: DchR₁، ۹: DchZ، ۱۰: EccSCRI193، ۱۱: EchSCRI3739، ۱۲: EcaSCRI1043، ۱۳: شاهد منفی (آب مقطر).

Fig. 1. Results of PCR amplification of standard isolates of *Pectobacterium*, *Dickeya* and isolates obtained from Isfahan using primer pair Eca1f/Eca2r. M: Marker III, 1: PccA₁, 2: PccB₁, 3: PccB₂, 4: PccC₁, 5: PccE₁, 6: PccA₁, 7: DchB₃, 8: DchR₁, 9: DchZ, 10: EccSCRI193, 11: EchSCRI3739, 12: EcaSCRI1043, 13: negative control (distilled water).

بحث

بدلیل اهمیت *Pa* از نظر مقررات کلاس بندی و صادرات غده بذری مادری سیب زمینی و نیز نادیده گرفتن آلودگی *Pcc* و *Dch* در این مقررات و با توجه به مشابهت علائم ساق سیاه بوجود آمده توسط این سه باکتری، ضروری است که برای جلوگیری از اشتباه در صدور گواهی بذری و واردات و صادرات سیب زمینی، تشخیص دقیق و سریع بیماری ساق سیاه سیب زمینی مورد توجه قرار گیرد. در این تحقیق استفاده از جفت آغازگرهای

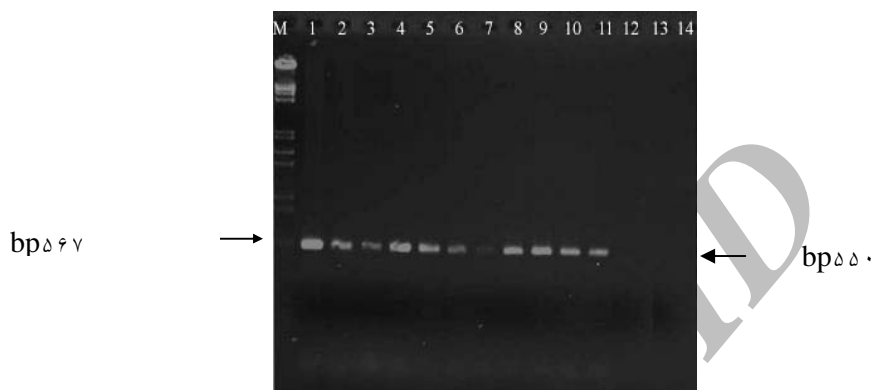


شکل ۲- تکثیر قطعه ۴۲۰bp در DNA جدایه‌های *Dch* اصفهان با استفاده از جفت آغازگر ADE1/ADE2
 M: مارکر 100bp، ۱: EchSCRI3739، ۲: DchA₁، ۳: DchB₂، ۴: DchD₃، ۵: DchE₂، ۶: DchF₃،
 ۷: DchG₂، ۸: DchH₃، ۹: DchI₂، ۱۰: DchM₂، ۱۱: DchR₁، ۱۲: DchZ₁، ۱۳: EcaSCRI1043،
 ۱۴: EccSCRI193، ۱۵: شاهد منفی (آب مقطر).

Fig. 2. Polymerase chain reaction (PCR) amplification of a 420bp DNA fragment from *Dch* isolates in Isfahan using primer pair ADE1/ADE2. M: 100bp ladder, 1: EchSCRI3739, 2: DchA₁, 3: DchB₂, 4: DchD₃, 5: DchE₂, 6: DchF₃, 7: DchG₂, 8: DchI₂, 9: DchI₂, 10: DchM₂, 11: DchR₁, 12: DchZ₁, 13: EcaSCRI1043, 14: EccSCRI193, 15: negative control (distilled water).

ساق سیاه سیبزمینی در اصفهان نداشته است و بطور عمده *Dch* و در بقیه موارد *Pec* از بوت‌ها و غده‌های بیمار جداسازی گردید. غالب بودن *Dch* در غده‌های مبتلا به ساق سیاه با توجه به رطوبت پایین و دمای نسبتاً بالا در مزارع منطقه اصفهان چندان هم دور از انتظار

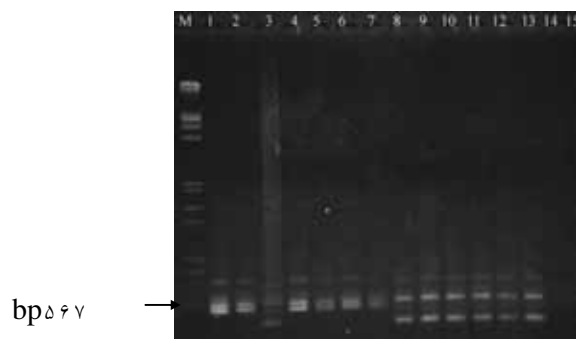
Eca1f/ Eca2r و Expccf/ Expccr، ADE1/ ADE2 منجر به تکثیر قطعات مورد انتظار در جدایه‌ها شد که با نتایج گروه بندی آنها بر اساس خصوصیات فیزیولوژیکی و بیوشیمیایی در این بررسی مطابقت کامل داشت. مجموعه نتایج بدست آمده از روش های بیوشیمیایی و PCR مشخص نمود که در سالهای نمونه برداری (۱۳۸۲-۱۳۸۳) باکتری *Pa* نقشی در بروز بیماری ساق سیاه سیبزمینی در اصفهان نداشته است و بطور عمده *Dch* و در بقیه موارد *Pec* از بوت‌ها و غده‌های بیمار جداسازی گردید. غالب بودن *Dch* در غده‌های مبتلا به ساق سیاه با توجه به رطوبت پایین و دمای نسبتاً بالا در مزارع منطقه اصفهان چندان هم دور از انتظار



شکل ۳- تولید قطعه ۵۵۰ bp در DNA جدا شده های *Pcc* اصفهان با استفاده از آغازگر ExPccF/ExPccR. M: مارکر III، ۱: EccSCRI193، ۲: PccA₁، ۳: PccB₁، ۴: PccB₃، ۵: PccC₁، ۶: PccC₂، ۷: PccD₁، ۸: PccD₂، ۹: PccE₁، ۱۰: PccE₂، ۱۱: EchSCRI3739، ۱۲: EccSCRI193، ۱۳: شاهد منفی (آب مقطر).

Fig. 3. Polymerase chain reaction(PCR) amplification of a 550bp DNA fragment from *Pcc* isolates in Isfahan using primer pair ExPccF/ExPccR M: Marker III, 1: EccSCRI193, 2: PccA₁, 3: PccB₁, 4: PccB₃, 5: PccC₁, 6: PccC₂, 7: PccD₁, 8: PccD₂, 9: PccE₁, 10: PccE₂, 11: EchSCRI3739, 12: EccSCRI193, 13: negative control (distilled water).

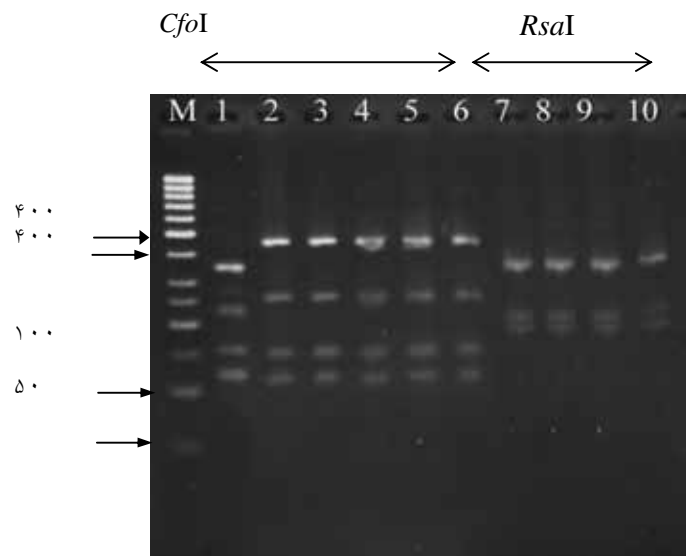
نیست. گزارش *Dch* و به عنوان بیماری ساق سیاه سیب زمینی در اسرائیل که اقلیم خشکی دارد (Lumb *et al.* 1986) و نیز غالبیت *Pcc* در شرایط گرم مزارع سیب زمینی آمریکا (Powelson 1980) در مقابل اهمیت بسیار زیاد *Pa* در بروز ساق سیاه در هوای خنک و مرطوب اروپا (Molina & Horrison 1977) شواهدی برای تقویت این فرضیه محسوب می شوند. احتمالاً به دلیل گرم و خشک بودن شرایط اقلیمی اصفهان، *Pa* قادر نیست در مزارع سیب زمینی منطقه گسترش زیادی داشته باشد. در صورت قبول این فرض، تعیین درصد آلودگی ساق سیاه به وجود آمده بر اثر *Pa* در مزارع سیب زمینی نیز که معمولاً به صورت مشاهده ای انجام می شود نمی تواند از اعتبار کافی برخوردار باشد و ضروریست برای ارزیابی وقوع ساق سیاه در مزارع



شکل ۴- تکثیر قطعات DNA از ناحیه ITS با استفاده از آغازگر *G₁/L₁*. M: مارکر III، ۱: *Eca*SCRI1043، ۲: *Ecc*SCRI193، ۳: *Ech*SCRI3739، ۴: *Ec*ash، ۵: *Pcc*A₁، ۶: *Pcc*B₂، ۷: *Pcc*C₂، ۸: *Dch*A₁، ۹: *Dch*B₂، ۱۰: *Dch*C₄، ۱۱: *Dch*F₂، ۱۲: *Dch*E₁، ۱۳: *Dch*H₁، ۱۴: شاهد منفی (آب مقطر).

Fig. 4. ITS-PCR amplification patterns using primer pair *G₁/L₁*. M: Marker, 1: *Eca*SCRI1043, 2: *Ecc*SCRI193, 3: *Ech*SCRI3739, 4: *Ec*ash, 5: *Pcc*A₁, 6: *Pcc*B₂, 7: *Pcc*C₂, 8: *Dch*A₁, 9: *Dch*B₂, 10: *Dch*D₄, 11: *Dch*F₂, 12: *Dch*E₁, 13: *Dch*H₁, 14: negative control (distilled water.)

جهت صدور گواهی بذری آزمایشات تکمیلی نیز صورت گیرد. علیرغم مطابقت نتایج آزمون‌های فیزیولوژیکی و بیوشیمیایی با نتایج واکنش‌های PCR در این بررسی، به دلیل سهولت استفاده از روش PCR، به کارگیری آغازگرهای مناسب اولویت بیشتری دارد. گرچه هر سه آغازگر *Eca1f/Eca2r*، *ExpccF/ExpccR* و *ADE1/ADE2* با دقت مناسب باکتریهای *Pa*، *Pcc*، *Dch* را از همدیگر متمایز کردند، ولی برای اجتناب از انجام سه واکنش مختلف PCR برای اطمینان از تشخیص دقیق عامل بیماری ساق‌سیاه در نمونه‌های ناشناخته جمع‌آوری شده از مزرعه، استفاده از آغازگر *G1/L1* که قادر است طی یک واکنش با الگوی بانندی مختلف برای *Pa*، *Pcc*، *Dch* آنها را از هم تفکیک کند مناسب‌تر است. این جفت آغازگر قادر به تکثیر ناحیه ITS rRNA ۲۳S-۱۶S گونه‌های پکتوباکتریوم و احتمالاً جنس‌های دیگر باکتری در واکنش PCR می‌باشد. اما به دلیل الگوی بانندی تولید شده مشخص برای *Pa*، *Pcc* و *Dch* نه



شکل ۵- الگوی برش آنزیمی محصول ITS-PCR جدایه‌های پکتوباکتریوم و دیکئیای استان اصفهان پس از هضم آنزیمی با *CfoI* و *RsaI*. M: نشانگر ۱۰۰bpLadder، ۱: EcaSCRI1043، ۲: EchSCRI3739، ۳: DchC₄، ۴: DchF₂، ۵: DchE₁، ۶: DchH1، ۷: EccSCRI193، ۸: Ecash، ۹: PccA₁، ۱۰: PccC₂.

Fig. 5. Restriction Fragment Length Polymorphism (RFLP) analysis of ITS-PCR product *Pectobacterium* and *Dickeya* isolates in Isfahan province after digestion with *CfoI* and *RsaI*. M: 100bp Ladder, 1: EcaSCRI1043, 2: EchSCRI3739, 3: DchD₄, 4: DchF₂, 5: DchE₁, 6: DchH1, 7: EccSCRI193, 8: Ecash, 9: PccA₁, 10: PccC₂.

تنها تشخیص گونه‌های مزبور از سایر جنس‌های باکتریایی بلکه تفکیک این سه گونه از همدیگر با سهولت و اطمینان کافی صورت می‌گیرد (Toth *et al.* 2001).
یادآوری می‌شود الگوهای بانندی تکثیر شده توسط G1/L1 در سه گروه مختلف طبقه‌بندی می‌گردد. گروه اول گونه *Pa* را با تکثیر قطعات حدود ۵۴۰، ۵۷۵، ۶۲۰ و ۷۴۰ نوکلئوتیدی و گونه *P. wasabiae* را با تکثیر قطعات با اندازه تقریبی ۵۴۰، ۵۷۵، ۶۲۰ و ۷۲۰ نوکلئوتیدی شامل می‌شود. در گروه دوم، *Pcc* و *P. carotovorum* subsp *odoriferum* با دو نوع الگوی بانندی و *P. wasabiae* و *P. cacticidae* با یک نوع الگوی بانندی قرار دارند. گروه سوم ITS-PCR

Dch را شامل می‌شود که با تکثیر قطعات نواحی ITS، شش نوع الگوی بانندی را ایجاد می‌کند. چون اندازه قطعات تکثیر شده در هر گروه ITS-PCR بسیار به هم نزدیک می‌باشد، از این رو انجام آزمون RFLP بر روی محصول ITS-PCR توصیه می‌گردد. طبق پیشنهاد انجام شده برای گروه ITS-PCR اول و سوم آنزیم *CfoI* و برای انجام واکنش آنزیمی گروه دوم آنزیم *RsaI* می‌تواند برای تفکیک اعضای داخل گروه بسیار سودمند باشند (Toth et al. 2001). در این بررسی به کارگیری آغازگر G1/L1 و انجام آزمون RFLP روی محصول PCR با دقت کامل جدایه‌های مربوط به *Pcc*، *Pa* و *Dch* را از هم تفکیک نمود که نتایج آن با روشهای بیوشیمیایی و سایر آغازگرهای مورد استفاده مطابق بود، هر چند تفاوت اندازه قطعات جدایه *Ecash* (دانشگاه شیراز) با جدایه‌های استاندارد، طبقه بندی این جدایه را دچار تردید نمود. با توجه به نتایج بدست آمده می‌توان کاربرد جفت آغازگر G1/L1 را جهت شناسایی دقیق عامل ساق‌سیاه و پوسیدگی نرم سیب‌زمینی در مزارع پیشنهاد نمود.

جدول ۱- خصوصیات فنوتیپی جدایه‌های پکتوباکتریوم و دیکیا، عوامل پوسیدگی نرم سیب‌زمینی در اصفهان، در مقایسه با گونه‌های استاندارد *Pa* و *Dch* و زیر گونه *Pcc*

Table 2. Phenotypic characteristics of potato soft rot causing *Pectobacterium* and *Dickeya* isolates of Isfahan in comparison with standard isolates of *Pa* and *Dch* and subspecies *Pcc*

جدایه	جدایه	جدایه	جدایه‌های گروه دوم (Group II)	جدایه‌های گروه اول (Group I)	(Test)	آزمون
استاندارد EchScri3739	استاندارد EccScri193	استاندارد EcaScri1043	جدایه‌های گروه دوم	جدایه‌های گروه اول		
-	-	-	-	-	Gram reaction	واکنش گرم
+	+	+	+	+	Potato rot	لهانیدن سیب‌زمینی
+	+	+	+	+	Peritrichous flagella	تاژک محیطی
*	*	*	*	*	Oxidative/ Fermentative	رشد بی‌هوازی و هوازی
+	+	+	+	+	Catalase	کاتالاز
-	-	-	-	-	Oxidase	اکسیداز

Table 1. (continued)

جدول ۱- (ادامه)

-	-	-	-	-	Starch hydrolysis	هیدرولیز نشاسته
+	-	-	-	+	Phosphatase	فسفاتاز
+	+	+	+	+	Nitrate reduction	احیاء نیترات
+	+	+	+	+	Levan production	تولید لوان
+	-	-	-	+	Indole production	تولید ایندول
-	-	+	-	-	Reducing substance from sucrose	تولید مواد احیاء کننده از ساکارز
+	+	-	+	+	Growth at 37°C	رشد در ۳۷ °C
					Acid production from:	تولید اسید از:
-	+	+	+	-	Trehalose	تری هالوز
+	+	+	+	+	Cellobiose	سلوبیوز
+	+	+	+	+	Arabinose	آرابینوز
-	-	-	-	-	Sorbitol	سوربیتول
+	+	+	+	+	Fructose	فروکتوز
+	+	+	+	+	Mannitol	مانیتول
-	-	-	-	-	Dulcitol	دالیسیتول
+	+	+	+	+	Maltose	مالتوز
+	+	+	+	+	Glucose	گلوکز
+	+	+	+	+	Melibiose	ملی بیوز
-	-	+	-	-	Pallatinose	پالاتینوز
-	-	+	-	-	α -methyl glucoside	آلفا متیل گلوکوزید

+: واکنش مثبت یا رشد Positive reaction or growth

-: واکنش منفی یا عدم رشد Negative reaction or no growth

* بی هوازی اختیاری Facultatively anaerobic

جهت ملاحظه به صفحات (53-56) متن انگلیسی مراجعه شود.

آدرس نگارندگان: راضیه فیروز، دکتر مسعود بهار و دکتر بهرام شریف نبی، گروه گیاه پزشکی، دانشکده کشاورزی، دانشگاه صنعتی اصفهان

Archive of SID